

Analyse non asymptotique d'un test séquentiel de détection de ruptures et application aux bandits non stationnaires

Conférence GRETSI @ Lille, Août 2019

Lilian Besson

Doctorant

Équipe SCEE, labo IETR, CentraleSupélec à Rennes
& Équipe SequeL, labo CRIStAL, Inria à Lille

Jeudi 29 Août 2019

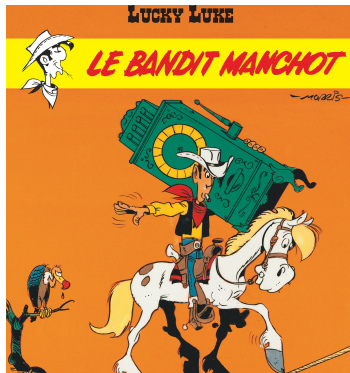


1. Problèmes de bandits multi-bras (stationnaires)

- ❶ **Problèmes de bandits multi-bras (stationnaires)**
- ❷ Problèmes de bandits multi-bras stationnaires par morceaux
- ❸ Le test BGLR et ses propriétés à horizon fini
- ❹ L'algorithme B-GLRT + klUCB
- ❺ Simulations numériques

Bandits manchots ? (= un bras)

Un autre nom pour une machine à sous :



↔ Source [Lucky Luke tome 18](#), © Dargaud.

Bandits multi-bras

= Prise de décisions séquentielles face à des environnements incertains :

Total Total
Reward Plays
14 24



1

	Arm 1	Arm 2	Arm 3	Arm 4	Arm 5
Rewards:	6	2	2	2	2
Pulls:	8	4	4	4	4
Estimated Probs:	0.750	0.500	0.500	0.500	0.500
UCBs:	1.641	1.761	1.761	1.761	1.761

↪ Démo interactive perso.crans.org/besson/phd/MAB_interactive_demo/

Modèle mathématique

- Étapes de temps discret $t = 1, \dots, T$
L'horizon T est fixé et généralement inconnu

Modèle mathématique

- Étapes de temps discret $t = 1, \dots, T$
L'horizon T est fixé et généralement inconnu
- Au temps t , une joueuse *choisit le bras* $A(t) \in \{1, \dots, K\}$,
et elle observe *une récompense aléatoire iid* : $r(t) \sim \nu_k, r(t) \in \mathbb{R}$

Modèle mathématique

- Étapes de temps discret $t = 1, \dots, T$
L'horizon T est fixé et généralement inconnu
- Au temps t , une joueuse *choisit le bras* $A(t) \in \{1, \dots, K\}$,
et elle observe *une récompense aléatoire iid* : $r(t) \sim \nu_k, r(t) \in \mathbb{R}$
- On se restreint souvent à des bras de Bernoulli $\nu_k = \mathcal{B}(\mu_k)$, de moyenne $\mu_k \in [0, 1]$, qui donnent des récompenses binaires $r(t) \in \{0, 1\}$.

Modèle mathématique

- Étapes de temps discret $t = 1, \dots, T$
L'horizon T est fixé et généralement inconnu
- Au temps t , une joueuse *choisit le bras* $A(t) \in \{1, \dots, K\}$,
et elle observe *une récompense aléatoire iid* : $r(t) \sim \nu_k, r(t) \in \mathbb{R}$
- On se restreint souvent à des bras de Bernoulli $\nu_k = \mathcal{B}(\mu_k)$, de moyenne $\mu_k \in [0, 1]$, qui donnent des récompenses binaires $r(t) \in \{0, 1\}$.
- **But** : maximiser la somme des récompenses $\sum_{t=1}^T r(t)$

Modèle mathématique

- Étapes de temps discret $t = 1, \dots, T$
L'horizon T est fixé et généralement inconnu
- Au temps t , une joueuse choisit le bras $A(t) \in \{1, \dots, K\}$,
et elle observe une récompense aléatoire iid : $r(t) \sim \nu_k, r(t) \in \mathbb{R}$
- On se restreint souvent à des bras de Bernoulli $\nu_k = \mathcal{B}(\mu_k)$, de moyenne $\mu_k \in [0, 1]$, qui
donnent des récompenses binaires $r(t) \in \{0, 1\}$.
- **But** : maximiser la somme des récompenses $\sum_{t=1}^T r(t)$
- ou maximiser la somme des récompenses moyennes $\mathbb{E} \left[\sum_{t=1}^T r(t) \right]$

Modèle mathématique

- Étapes de temps discret $t = 1, \dots, T$
L'horizon T est fixé et généralement inconnu
- Au temps t , une joueuse choisit le bras $A(t) \in \{1, \dots, K\}$,
et elle observe une récompense aléatoire iid : $r(t) \sim \nu_k, r(t) \in \mathbb{R}$
- On se restreint souvent à des bras de Bernoulli $\nu_k = \mathcal{B}(\mu_k)$, de moyenne $\mu_k \in [0, 1]$, qui
donnent des récompenses binaires $r(t) \in \{0, 1\}$.
- **But** : maximiser la somme des récompenses $\sum_{t=1}^T r(t)$
- ou maximiser la somme des récompenses moyennes $\mathbb{E} \left[\sum_{t=1}^T r(t) \right]$
- Une stratégie efficace doit résoudre le **compromis entre exploration et exploitation** :
explorer tous les bras pour découvrir le meilleur, tout en exploitant le meilleur bras
courant.

Mesurer la performance d'un algorithme \mathcal{A} par son regret moyen $R_{\mathcal{A}}(T)$

- Différence entre les récompenses accumulées par un "oracle" et \mathcal{A}

Mesurer la performance d'un algorithme \mathcal{A} par son regret moyen $R_{\mathcal{A}}(T)$

- Différence entre les récompenses accumulées par un "oracle" et \mathcal{A}
- L'algorithme "oracle" joue toujours **le meilleur bras (inconnu)** $k^* = \arg \max_k \mu_k$ (la meilleure moyenne est notée $\mu_{k^*} = \mu^*$)

Mesurer la performance d'un algorithme \mathcal{A} par son regret moyen $R_{\mathcal{A}}(T)$

- Différence entre les récompenses accumulées par un "oracle" et \mathcal{A}
- L'algorithme "oracle" joue toujours **le meilleur bras (inconnu)** $k^* = \arg \max_k \mu_k$ (la meilleure moyenne est notée $\mu_{k^*} = \mu^*$)
- But équivalent : maximiser la somme des récompenses moyennes \iff **minimiser le regret moyen**

$$R_{\mathcal{A}}(T) = \mathbb{E} \left[\sum_{t=1}^T r_{k^*}(t) \right] - \sum_{t=1}^T \mathbb{E} [r(t)] = T\mu^* - \sum_{t=1}^T \mathbb{E} [r(t)].$$

Mesurer la performance d'un algorithme \mathcal{A} par son regret moyen $R_{\mathcal{A}}(T)$

- Différence entre les récompenses accumulées par un "oracle" et \mathcal{A}
- L'algorithme "oracle" joue toujours **le meilleur bras (inconnu)** $k^* = \arg \max_k \mu_k$ (la meilleure moyenne est notée $\mu_{k^*} = \mu^*$)
- But équivalent : maximiser la somme des récompenses moyennes \iff **minimiser le regret moyen**

$$R_{\mathcal{A}}(T) = \mathbb{E} \left[\sum_{t=1}^T r_{k^*}(t) \right] - \sum_{t=1}^T \mathbb{E} [r(t)] = T\mu^* - \sum_{t=1}^T \mathbb{E} [r(t)].$$

Mesurer la performance d'un algorithme \mathcal{A} par son regret moyen $R_{\mathcal{A}}(T)$

- Différence entre les récompenses accumulées par un "oracle" et \mathcal{A}
- L'algorithme "oracle" joue toujours **le meilleur bras (inconnu)** $k^* = \arg \max_k \mu_k$ (la meilleure moyenne est notée $\mu_{k^*} = \mu^*$)
- But équivalent : maximiser la somme des récompenses moyennes \iff **minimiser le regret moyen**

$$R_{\mathcal{A}}(T) = \mathbb{E} \left[\sum_{t=1}^T r_{k^*}(t) \right] - \sum_{t=1}^T \mathbb{E} [r(t)] = T\mu^* - \sum_{t=1}^T \mathbb{E} [r(t)].$$

Régime typique pour des bandits stationnaires (bornes inf & sup)

- Aucun algorithme \mathcal{A} ne peut atteindre un regret meilleur que $R_{\mathcal{A}}(T) \geq \Omega(\log(T))$
- Et un algorithme efficace \mathcal{A} obtient $R_{\mathcal{A}}(T) \leq \mathcal{O}(\log(T))$

2. Bandits stationnaires par morceaux

- ① Problèmes de bandits multi-bras (stationnaires)
- ② **Problèmes de bandits multi-bras stationnaires par morceaux**
- ③ Le test BGLR et ses propriétés à horizon fini
- ④ L'algorithme B-GLRT + klUCB
- ⑤ Simulations numériques

Problèmes de bandits non stationnaires

Problèmes de bandits stationnaires

Le bras k tire une récompense selon **la même distribution** pour chaque instant :

$$\forall t, r_k(t) \stackrel{\text{iid}}{\sim} \nu_k = \mathcal{B}(\mu_k).$$

Problèmes de bandits non stationnaires

Problèmes de bandits stationnaires

Le bras k tire une récompense selon **la même distribution** pour chaque instant :

$$\forall t, r_k(t) \stackrel{\text{iid}}{\sim} \nu_k = \mathcal{B}(\mu_k).$$

Problèmes de bandits *non* stationnaires

Le bras k tire une récompense selon **une distribution différente à chaque instant** :

$$\forall t, r_k(t) \stackrel{\text{iid}}{\sim} \nu_k(t) = \mathcal{B}(\mu_k(t)).$$

⇒ 😞 problème plus difficile ! Et très difficile si $\mu_k(t)$ peut changer n'importe quand !

Problèmes de bandits non stationnaires

Problèmes de bandits stationnaires

Le bras k tire une récompense selon **la même distribution** pour chaque instant :

$$\forall t, r_k(t) \stackrel{\text{iid}}{\sim} \nu_k = \mathcal{B}(\mu_k).$$

Problèmes de bandits *non* stationnaires

Le bras k tire une récompense selon **une distribution différente à chaque instant** :

$$\forall t, r_k(t) \stackrel{\text{iid}}{\sim} \nu_k(t) = \mathcal{B}(\mu_k(t)).$$

⇒ 😞 problème plus difficile ! Et très difficile si $\mu_k(t)$ peut changer n'importe quand !

Problèmes de bandits stationnaires par morceaux

↪ on se concentre sur le cas où il y a au plus $o(\sqrt{T})$ intervalles sur lesquels les moyennes sont toutes stationnaires (= **séquences**)

Ruptures et séquences stationnaires

On définit

- Le nombre de rupture $\Upsilon_T = \sum_{t=1}^{T-1} \mathbb{1}(\exists k \in \{1, \dots, K\} : \mu_k(t) \neq \mu_k(t+1))$
- Le i ème point d'arrêt $\tau^i = \inf\{t > \tau^{i-1} : \exists k : \mu_k(t) \neq \mu_k(t+1)\}$ (avec $\tau^0 = 0$)

Ruptures et séquences stationnaires

On définit

- Le nombre de rupture $\Upsilon_T = \sum_{t=1}^{T-1} \mathbb{1}(\exists k \in \{1, \dots, K\} : \mu_k(t) \neq \mu_k(t+1))$
- Le i ème point d'arrêt $\tau^i = \inf\{t > \tau^{i-1} : \exists k : \mu_k(t) \neq \mu_k(t+1)\}$ (avec $\tau^0 = 0$)

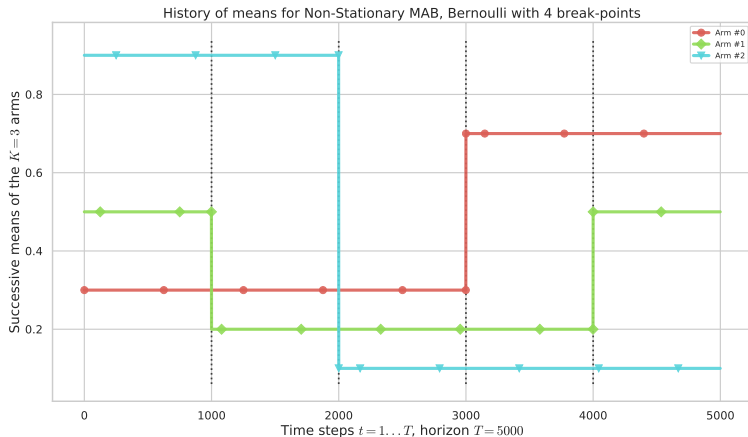
Hypothèses sur les problèmes stationnaires par morceaux (p.m.)

- Les récompenses $r_k(t)$ générées par chaque bras k sont **iid sur chaque intervalle** $[\tau^i + 1, \tau^{i+1}]$ (la i ème séquence)
- Il y a $\Upsilon_T = o(\sqrt{T})$ ruptures
- Et **Υ_T peut être connu à l'avance**
- Les séquences sont toutes "assez longues"

Exemple d'un problème de bandits stationnaire p.m.

On affiche les moyennes $\mu_1(t)$, $\mu_2(t)$, $\mu_3(t)$ des $K = 3$ bras.

Il y a $\Upsilon_T = 4$ ruptures, et 5 séquences entre $t = 1$ et $T = 5000$:



Regret pour les bandits stationnaires par morceaux ?

L'algorithme "oracle" joue le meilleur bras (inconnu) $k^*(t) = \arg \max \mu_k(t)$ (qui change entre chaque séquence stationnaire)

$$R_{\mathcal{A}}(T) = \mathbb{E} \left[\sum_{t=1}^T r_{k^*(t)}(t) \right] - \sum_{t=1}^T \mathbb{E} [r(t)] = \left(\sum_{t=1}^T \max_k \mu_k(t) \right) - \sum_{t=1}^T \mathbb{E} [r(t)].$$

Regret pour les bandits stationnaires par morceaux ?

L'algorithme "oracle" joue le meilleur bras (inconnu) $k^*(t) = \arg \max \mu_k(t)$ (qui change entre chaque séquence stationnaire)

$$R_{\mathcal{A}}(T) = \mathbb{E} \left[\sum_{t=1}^T r_{k^*(t)}(t) \right] - \sum_{t=1}^T \mathbb{E} [r(t)] = \left(\sum_{t=1}^T \max_k \mu_k(t) \right) - \sum_{t=1}^T \mathbb{E} [r(t)].$$

Régimes typiques pour les bandits stationnaires par morceaux

- La borne inférieure est $R_{\mathcal{A}}(T) \geq \Omega(\sqrt{KT\Upsilon_T})$
- Actuellement, les meilleurs algorithmes \mathcal{A} obtiennent
 - $R_{\mathcal{A}}(T) \leq \mathcal{O}(K\sqrt{T\Upsilon_T \log(T)})$ si T et Υ_T sont connus
 - $R_{\mathcal{A}}(T) = \mathcal{O}(K\Upsilon_T\sqrt{T \log(T)})$ si T et Υ_T sont inconnus

3. Le test BGLR et ses propriétés à horizon fini

- 1 Problèmes de bandits multi-bras (stationnaires)
- 2 Problèmes de bandits multi-bras stationnaires par morceaux
- 3 **Le test BGLR et ses propriétés à horizon fini**
- 4 L'algorithme B-GLRT + klUCB
- 5 Simulations numériques

Le problème de détection de rupture

Imaginez le jeu suivant...

- Vous observez des données $X_1, X_2, \dots, X_t, \dots \in [0, 1]$...
- Vous savez que X_t est généré par une certaine distribution **inconnue**...

Le problème de détection de rupture

Imaginez le jeu suivant...

- Vous observez des données $X_1, X_2, \dots, X_t, \dots \in [0, 1]$...
- Vous savez que X_t est généré par une certaine distribution **inconnue**...
- **Votre but** est de distinguer entre deux hypothèses :
 - \mathcal{H}_0 Les distributions **ont toutes la même moyenne** (“pas de rupture”)

 $\exists \mu_0, \mathbb{E}[X_1] = \mathbb{E}[X_2] = \dots = \mathbb{E}[X_t] = \mu_0$
 - \mathcal{H}_1 Les distributions **ont changé de moyennes au temps τ**

 $\exists \mu_0, \mu_1, \tau, \mathbb{E}[X_1] = \dots = \mathbb{E}[X_\tau] = \mu_0, \mu_0 \neq \mu_1, \mathbb{E}[X_{\tau+1}] = \mathbb{E}[X_{\tau+2}] = \dots = \mu_1$
- Vous arrêtez au temps $\hat{\tau}$, dès que vous détectez une rupture

Le problème de détection de rupture

Imaginez le jeu suivant...

- Vous observez des données $X_1, X_2, \dots, X_t, \dots \in [0, 1]$...
- Vous savez que X_t est généré par une certaine distribution **inconnue**...
- **Votre but** est de distinguer entre deux hypothèses :
 - \mathcal{H}_0 Les distributions **ont toutes la même moyenne** (“pas de rupture”)

 $\exists \mu_0, \mathbb{E}[X_1] = \mathbb{E}[X_2] = \dots = \mathbb{E}[X_t] = \mu_0$
 - \mathcal{H}_1 Les distributions **ont changé de moyennes au temps τ**

 $\exists \mu_0, \mu_1, \tau, \mathbb{E}[X_1] = \dots = \mathbb{E}[X_\tau] = \mu_0, \mu_0 \neq \mu_1, \mathbb{E}[X_{\tau+1}] = \mathbb{E}[X_{\tau+2}] = \dots = \mu_1$
- Vous arrêtez au temps $\hat{\tau}$, dès que vous détectez une rupture

Un **détecteur de rupture séquentiel** est un **temps d'arrêt $\hat{\tau}$** , mesurable selon $\mathcal{F}_t = \sigma(X_1, \dots, X_t)$, qui rejette l'hypothèse \mathcal{H}_0 lorsque $\hat{\tau} < \infty$.

Test de rapport de vraisemblances de Bernoulli

Hypothèses : toutes les distributions sont Bernoulli ($\nu_k = \mathcal{B}(\mu_k)$)

Le problème se résume à distinguer

\mathcal{H}_0 : ($\exists \mu_0 : \forall i \in \mathbb{N}^*, X_i \stackrel{\text{i.i.d.}}{\sim} \mathcal{B}(\mu_0)$), contre l'alternative

\mathcal{H}_1 : ($\exists \mu_0 \neq \mu_1, \tau > 1 : X_1, \dots, X_\tau \stackrel{\text{i.i.d.}}{\sim} \mathcal{B}(\mu_0)$ et $X_{\tau+1}, \dots \stackrel{\text{i.i.d.}}{\sim} \mathcal{B}(\mu_1)$).

Test de rapport de vraisemblances de Bernoulli

Hypothèses : toutes les distributions sont Bernoulli ($\nu_k = \mathcal{B}(\mu_k)$)

Le problème se résume à distinguer

\mathcal{H}_0 : ($\exists \mu_0 : \forall i \in \mathbb{N}^*, X_i \stackrel{\text{i.i.d.}}{\sim} \mathcal{B}(\mu_0)$), contre l'alternative

\mathcal{H}_1 : ($\exists \mu_0 \neq \mu_1, \tau > 1 : X_1, \dots, X_\tau \stackrel{\text{i.i.d.}}{\sim} \mathcal{B}(\mu_0)$ et $X_{\tau+1}, \dots \stackrel{\text{i.i.d.}}{\sim} \mathcal{B}(\mu_1)$).

Après avoir observé X_1, \dots, X_n , la statistique du **test de rapport de vraisemblances** pour cette hypothèse est

$$\mathcal{L}(n) = \frac{\sup_{\mu_0, \mu_1, \tau < n} \ell(X_1, \dots, X_n; \mu_0, \mu_1, \tau)}{\sup_{\mu_0} \ell(X_1, \dots, X_n; \mu_0)},$$

où $\ell(X_1, \dots, X_n; \mu_0)$ et $\ell(X_1, \dots, X_n; \mu_0, \mu_1, \tau)$ sont les vraisemblances des observations selon les modèles \mathcal{H}_0 et \mathcal{H}_1 .

Test de rapport de vraisemblances de Bernoulli

Hypothèses : toutes les distributions sont Bernoulli ($\nu_k = \mathcal{B}(\mu_k)$)

Le problème se résume à distinguer

\mathcal{H}_0 : ($\exists \mu_0 : \forall i \in \mathbb{N}^*, X_i \stackrel{\text{i.i.d.}}{\sim} \mathcal{B}(\mu_0)$), contre l'alternative

\mathcal{H}_1 : ($\exists \mu_0 \neq \mu_1, \tau > 1 : X_1, \dots, X_\tau \stackrel{\text{i.i.d.}}{\sim} \mathcal{B}(\mu_0)$ et $X_{\tau+1}, \dots \stackrel{\text{i.i.d.}}{\sim} \mathcal{B}(\mu_1)$).

Après avoir observé X_1, \dots, X_n , la statistique du **test de rapport de vraisemblances** pour cette hypothèse est

$$\mathcal{L}(n) = \frac{\sup_{\mu_0, \mu_1, \tau < n} \ell(X_1, \dots, X_n; \mu_0, \mu_1, \tau)}{\sup_{\mu_0} \ell(X_1, \dots, X_n; \mu_0)},$$

où $\ell(X_1, \dots, X_n; \mu_0)$ et $\ell(X_1, \dots, X_n; \mu_0, \mu_1, \tau)$ sont les vraisemblances des observations selon les modèles \mathcal{H}_0 et \mathcal{H}_1 .

\hookrightarrow De grandes valeurs de $\mathcal{L}(n)$ tendent à rejeter \mathcal{H}_0 en faveur de \mathcal{H}_1 .

(log) Rapport de vraisemblances de Bernoulli

On peut réécrire cette statistique $\mathcal{L}(n) = \frac{\sup_{\mu_0, \mu_1, \tau < n} \ell(X_1, \dots, X_n; \mu_0, \mu_1, \tau)}{\sup_{\mu_0} \ell(X_1, \dots, X_n; \mu_0)}$, en utilisant les

vraisemblances de Bernoulli, et les moyennes glissantes $\hat{\mu}_{k:k'} = \frac{1}{k'-k+1} \sum_{s=k}^{k'} X_s$:

$$\log \mathcal{L}(n) = \max_{s \in \{1, \dots, n-1\}} \left[s \times \text{kl} \left(\underbrace{\hat{\mu}_{1:s}}_{\text{avant rupture}}, \underbrace{\hat{\mu}_{1:n}}_{\text{tout}} \right) + (n-s) \times \text{kl} \left(\underbrace{\hat{\mu}_{s+1:n}}_{\text{après rupture}}, \underbrace{\hat{\mu}_{1:n}}_{\text{tout}} \right) \right].$$

Où $\text{kl}(x, y) = x \ln\left(\frac{x}{y}\right) + (1-x) \ln\left(\frac{1-x}{1-y}\right)$ est l'entropie relative binaire

Le test généralisé de rapport de vraisemblances de Bernoulli (B-GLRT)

- On peut étendre ce test si les observations sont **sous-Bernoulli**.
(fonction génératrice ϕ des moments bornée par celle d'une loi de Bernoulli $\phi_{\mathcal{B}}$)
- Et toute distribution à support borné dans $[0, 1]$ est sous-Bernoulli !
- \implies le test B-GLR peut être appliqué à n'importe quelles observations bornées 😊

Le test généralisé de rapport de vraisemblances de Bernoulli (B-GLRT)

- On peut étendre ce test si les observations sont **sous-Bernoulli**.
(fonction génératrice ϕ des moments bornée par celle d'une loi de Bernoulli $\phi_{\mathcal{B}}$)
- Et toute distribution à support borné dans $[0, 1]$ est sous-Bernoulli !
- \implies le test B-GLR peut être appliqué à n'importe quelles observations bornées 😊

Le test de détection séquentielle de rupture B-GRLT

Le **B-GLRT** est le temps d'arrêt défini par

$$\hat{\tau}_{\delta} = \inf \left\{ n \in \mathbb{N}^* : \max_{s \in \{1, \dots, n-1\}} \left[s \text{kl}(\hat{\mu}_{1:s}, \hat{\mu}_{1:n}) + (n-s) \text{kl}(\hat{\mu}_{s+1:n}, \hat{\mu}_{1:n}) \right] \geq \beta(n, \delta) \right\}$$

- avec une **fonction seuil** $\beta(n, \delta)$ spécifiée plus tard,
- n est le nombre d'observations (X_1, \dots, X_n) ,
- δ est le niveau de confiance ($\delta \in (0, 1)$).

Probabilité de fausse alarme

Un bon test ne doit pas détecter de rupture s'il n'y a pas de rupture à détecter...

Probabilité de fausse alarme

Un bon test ne doit pas détecter de rupture s'il n'y a pas de rupture à détecter...

Définition : fausse alarme

Le temps d'arrêt est $\hat{\tau}_\delta$, et une rupture est détectée si $\hat{\tau}_\delta < \infty$.

Soit \mathbb{P}_{μ_0} un modèle de probabilité selon lequel les observations sont $\forall t, X_t \in [0, 1]$ et $\forall t, \mathbb{E}[X_t] = \mu_0$.

La **probabilité de fausse alarme** est $\mathbb{P}_{\mu_0}(\hat{\tau}_\delta < \infty)$.

\implies **But : contrôler l'événement de fausse alarme !** (en forte proba)

Premier résultat pour le test BGLR 😊

Contrôler la probabilité de fausse alarme

Pour n'importe quel **niveau de confiance** $0 < \delta < 1$, le test BGLR satisfait

$$\mathbb{P}_{\mu_0}(\hat{\tau}_\delta < \infty) \leq \delta$$

avec la fonction seuil

$$\beta(n, \delta) = 2 \mathcal{T} \left(\frac{\ln(3n\sqrt{n}/\delta)}{2} \right) + 6 \ln(1 + \ln(n)) \simeq \ln \left(\frac{3n\sqrt{n}}{\delta} \right) = \mathcal{O} \left(\log \left(\frac{n}{\delta} \right) \right).$$

Où $\mathcal{T}(x)$ vérifie $\mathcal{T}(x) \simeq x + \ln(x)$ pour x assez grand

Premier résultat pour le test BGLR 😊

Contrôler la probabilité de fausse alarme

Pour n'importe quel **niveau de confiance** $0 < \delta < 1$, le test BGLR satisfait

$$\mathbb{P}_{\mu_0}(\hat{\tau}_\delta < \infty) \leq \delta$$

avec la fonction seuil

$$\beta(n, \delta) = 2 \mathcal{T} \left(\frac{\ln(3n\sqrt{n}/\delta)}{2} \right) + 6 \ln(1 + \ln(n)) \simeq \ln \left(\frac{3n\sqrt{n}}{\delta} \right) = \mathcal{O} \left(\log \left(\frac{n}{\delta} \right) \right).$$

Où $\mathcal{T}(x)$ vérifie $\mathcal{T}(x) \simeq x + \ln(x)$ pour x assez grand

Preuve ?

Voir la version longue de notre article [HAL-02006471](#) et [arXiv:1902.01575](#)

Délai de détection

Un bon test devrait détecter une rupture “assez vite” s’il y a une rupture à détecter, avec assez d’échantillons avant la rupture. . .

Délai de détection

Un bon test devrait détecter une rupture “assez vite” s’il y a une rupture à détecter, avec assez d’échantillons avant la rupture...

Definition : délai de détection

Soit $\mathbb{P}_{\mu_0, \mu_1, \tau}$ un modèle de probabilité selon lequel $\forall t, X_t \in [0, 1]$ et $\forall t \leq \tau, \mathbb{E}[X_t] = \mu_0$ et $\forall t \geq \tau + 1, \mathbb{E}[X_t] = \mu_1$, avec $\mu_0 \neq \mu_1$.

L'écart de cette rupture est $\Delta = |\mu_0 - \mu_1|$.

Le **délai de détection** est défini par $u = \hat{\tau}_\delta - \tau \in \mathbb{N}$.

⇒ **But : contrôler le délai de détection!** (en forte probabilité)

Second résultat pour le test BGLR 😊

Contrôler le délai de détection

Pour une rupture d'amplitude $\Delta = |\mu_1 - \mu_0|$, le test BGLR satisfait

$$\begin{aligned} \mathbb{P}_{\mu_0, \mu_1, \tau}(\hat{\tau}_\delta \geq \tau + u) &\leq \exp \left(-\frac{2\tau u}{\tau + u} \left(\max \left[0, \Delta - \sqrt{\frac{\tau + u}{2\tau u}} \beta(\tau + u, \delta) \right] \right)^2 \right) \\ &= \mathcal{O}(\text{décroissance exponentielle en } u) = \mathcal{O}(\exp \searrow (u)). \end{aligned}$$

avec la même fonction de seuil $\beta(n, \delta) \simeq \ln(3n\sqrt{n}/\delta)$.

Conséquence

En forte probabilité, **le délai $\hat{\tau}_\delta$ du BGLR est borné** par $\mathcal{O}(\Delta^{-2} \ln(1/\delta))$ **si assez d'échantillons sont observés avant la rupture** au temps τ .

BGLR est un test de détection de rupture efficace 😊 !

- On a vu qu'en choisissant
 - un niveau de confiance δ ,
 - et une bonne fonction de seuil $\beta(n, \delta) \simeq \ln(3n\sqrt{n}/\delta) = \mathcal{O}(\log(n/\delta))$,

BGLR est un test de détection de rupture efficace 😊 !

- On a vu qu'en choisissant
 - un niveau de confiance δ ,
 - et une bonne fonction de seuil $\beta(n, \delta) \simeq \ln(3n\sqrt{n}/\delta) = \mathcal{O}(\log(n/\delta))$,
- on peut contrôler les deux propriétés du test BGLR :
 - sa **probabilité de fausse alarme** : $\mathbb{P}_{\mu_0}(\hat{\tau}_\delta < \infty) \leq \delta$,
 - son **délai de détection** : $\mathbb{P}_{\mu_0, \mu_1, \tau}(\hat{\tau}_\delta \geq \tau + u)$ décroît exponentiellement rapidement en u (s'il y a assez d'observations avant et après la rupture).
- \implies Le test BGLR détecte les ruptures efficacement 😊

BGLR est un test de détection de rupture efficace 😊 !

- On a vu qu'en choisissant
 - un niveau de confiance δ ,
 - et une bonne fonction de seuil $\beta(n, \delta) \simeq \ln(3n\sqrt{n}/\delta) = \mathcal{O}(\log(n/\delta))$,
- on peut contrôler les deux propriétés du test BGLR :
 - sa **probabilité de fausse alarme** : $\mathbb{P}_{\mu_0}(\hat{\tau}_\delta < \infty) \leq \delta$,
 - son **délai de détection** : $\mathbb{P}_{\mu_0, \mu_1, \tau}(\hat{\tau}_\delta \geq \tau + u)$ décroît exponentiellement rapidement en u (s'il y a assez d'observations avant et après la rupture).
- \implies Le test BGLR détecte les ruptures efficacement 😊

Garanties non asymptotiques 😊

[Maillard, ALT, 2019] [Lai & Xing, Sequential Analysis, 2010]

De telles garanties **non asymptotiques** sont des résultats assez récents !

4. L'algorithme B-GLRT + κ IUCB

- 1 Problèmes de bandits multi-bras (stationnaires)
- 2 Problèmes de bandits multi-bras stationnaires par morceaux
- 3 Le test BGLR et ses propriétés à horizon fini
- 4 **L'algorithme B-GLRT + κ IUCB**
- 5 Simulations numériques

On combine le test BGLR + les indices kl-UCB

Idées principales

- Calculer un indice UCB sur chaque bras k (Borne Sup. Confiance)
- Presque tout le temps, jouer le bras $A(t) = \arg \max_{k \in \{1, \dots, K\}} \text{kl-UCB}_k(t)$
- Utiliser le test BGLR **pour détecter les ruptures sur le bras joué**
- Si une rupture est détectée, **effacer la mémoire des observations de *tous les bras***

On combine le test BGRL + les indices kl-UCB

Idées principales

- Calculer un indice UCB sur chaque bras k (Borne Sup. Confiance)
- Presque tout le temps, jouer le bras $A(t) = \arg \max_{k \in \{1, \dots, K\}} \text{kl-UCB}_k(t)$
- Utiliser le test BGLR **pour détecter les ruptures sur le bras joué**
- Si une rupture est détectée, **effacer la mémoire des observations de *tous les bras***

Les indices kl-UCB

- $\tau_k(t)$ est le temps depuis le dernier redémarrage du bras k ,
- $n_k(t)$ compte les sélections et $\hat{\mu}_k(t)$ est la moyenne empirique des observations du bras k depuis $\tau_k(t)$,
- Soit $\text{kl-UCB}_k(t) = \max \{q \in [0, 1] : n_k(t) \times \text{kl}(\hat{\mu}_k(t), q) \leq f(t - \tau_k(t))\}$
- $f(t) = \ln(t) + 3 \ln(\ln(t))$ contrôle l'amplitude de la Borne Sup. de Confiance (UCB).

Deux détails sur notre algorithme

i) Comment est utilisé le test BGLR ?

(paramètre δ)

Avec les observations Z_1, \dots, Z_n on utilise le test BGLR pour détecter une rupture avec un niveau de confiance δ quand

$$\sup_{1 \leq s \leq n-1} \left[s \times \text{kl} \left(\hat{Z}_{1:s}, \hat{Z}_{1:n} \right) + (n - s) \times \text{kl} \left(\hat{Z}_{s+1:n}, \hat{Z}_{1:n} \right) \right] \geq \beta(n, \delta)$$

Deux détails sur notre algorithme

i) Comment est utilisé le test BGLR ? (paramètre δ)

Avec les observations Z_1, \dots, Z_n on utilise le test BGLR pour détecter une rupture avec un niveau de confiance δ quand

$$\sup_{1 \leq s \leq n-1} \left[s \times \text{kl} \left(\widehat{Z}_{1:s}, \widehat{Z}_{1:n} \right) + (n - s) \times \text{kl} \left(\widehat{Z}_{s+1:n}, \widehat{Z}_{1:n} \right) \right] \geq \beta(n, \delta)$$

ii) Exploration forcée (paramètre α)

- On utilise une exploration forcée sur tous les bras...
ie, en moyenne, le bras k est forcé à être joué au moins $T \times \alpha / K$ fois
- \implies dans le but de pouvoir détecter les ruptures sur tous les bras
- et pas seulement sur le bras joué par les indices kl-UCB

L'algorithme BGLR + kl-UCB

- 1 **Data** : Paramètre du problème : $T \in \mathbb{N}^*$, $K \in \mathbb{N}^*$
- 2 **Data** : Paramètre : $\alpha \in (0, 1)$, $\delta > 0$
- 3 **Initialisation** : $\forall k \in \{1, \dots, K\}$, $\tau_k = 0$ et $n_k = 0$
- 4 **for** $t = 1, 2, \dots, T$ **do**

// peut utiliser T et Υ_T

L'algorithme BGLR + kl-UCB

```

1 Data : Paramètre du problème :  $T \in \mathbb{N}^*$ ,  $K \in \mathbb{N}^*$ 
2 Data : Paramètre :  $\alpha \in (0, 1)$ ,  $\delta > 0$  // peut utiliser  $T$  et  $\Upsilon_T$ 
3 Initialisation :  $\forall k \in \{1, \dots, K\}$ ,  $\tau_k = 0$  et  $n_k = 0$ 
4 for  $t = 1, 2, \dots, T$  do
5   if  $t \bmod \lfloor \frac{K}{\alpha} \rfloor \in \{1, \dots, K\}$  then
6      $A(t) = t \bmod \lfloor \frac{K}{\alpha} \rfloor$  // exploration forcée
7   else
8      $A(t) = \arg \max_{k \in \{1, \dots, K\}} \text{kl-UCB}_k(t)$  // plus grand indice UCB

```

L'algorithme **BGLR** + **kl-UCB**

```

1 Data : Paramètre du problème :  $T \in \mathbb{N}^*$ ,  $K \in \mathbb{N}^*$ 
2 Data : Paramètre :  $\alpha \in (0, 1)$ ,  $\delta > 0$  // peut utiliser  $T$  et  $\Upsilon_T$ 
3 Initialisation :  $\forall k \in \{1, \dots, K\}$ ,  $\tau_k = 0$  et  $n_k = 0$ 
4 for  $t = 1, 2, \dots, T$  do
5   if  $t \bmod \lfloor \frac{K}{\alpha} \rfloor \in \{1, \dots, K\}$  then
6      $A(t) = t \bmod \lfloor \frac{K}{\alpha} \rfloor$  // exploration forcée
7   else
8      $A(t) = \arg \max_{k \in \{1, \dots, K\}} \text{kl-UCB}_k(t)$  // plus grand indice UCB
9   Joue le bras  $k = A(t)$ , et incrémente le compteur  $n_{A(t)} = n_{A(t)} + 1$ 
10  Observe la récompense  $X_{A(t),t}$ , et la stocker  $Z_{A(t),n_{A(t)}} = X_{A(t),t}$ 

```

L'algorithme BGLR + kl-UCB

```

1 Data : Paramètre du problème :  $T \in \mathbb{N}^*$ ,  $K \in \mathbb{N}^*$ 
2 Data : Paramètre :  $\alpha \in (0, 1)$ ,  $\delta > 0$  // peut utiliser  $T$  et  $\Upsilon_T$ 
3 Initialisation :  $\forall k \in \{1, \dots, K\}$ ,  $\tau_k = 0$  et  $n_k = 0$ 
4 for  $t = 1, 2, \dots, T$  do
5   if  $t \bmod \lfloor \frac{K}{\alpha} \rfloor \in \{1, \dots, K\}$  then
6      $A(t) = t \bmod \lfloor \frac{K}{\alpha} \rfloor$  // exploration forcée
7   else
8      $A(t) = \arg \max_{k \in \{1, \dots, K\}} \text{kl-UCB}_k(t)$  // plus grand indice UCB
9   Joue le bras  $k = A(t)$ , et incrémente le compteur  $n_{A(t)} = n_{A(t)} + 1$ 
10  Observe la récompense  $X_{A(t),t}$ , et la stocker  $Z_{A(t),n_{A(t)}} = X_{A(t),t}$ 
11  if  $\text{BGLRT}_\delta(Z_{A(t),1}, \dots, Z_{A(t),n_{A(t)}}) = \text{Vrai}$  then
12     $\forall k, \tau_k = t$  et  $n_k = 0$  // efface la mémoire de tous les bras
13 end

```

5. Simulations numériques

- ① Problèmes de bandits multi-bras (stationnaires)
- ② Problèmes de bandits multi-bras stationnaires par morceaux
- ③ Le test BGLR et ses propriétés à horizon fini
- ④ L'algorithme B-GLRT + klUCB
- ⑤ **Simulations numériques**

Simulations numériques

On considère trois problèmes avec

- $K = 3$ bras de Bernoulli
- $T = 5000$ étapes de temps (horizon fini)
- $\Upsilon_T = 4$ ruptures (= 5 séquences stationnaires)
Les algorithmes peuvent utiliser cette connaissance de T et Υ_T
- 1000 simulations indépendantes, on affiche le regret moyen

Simulations numériques

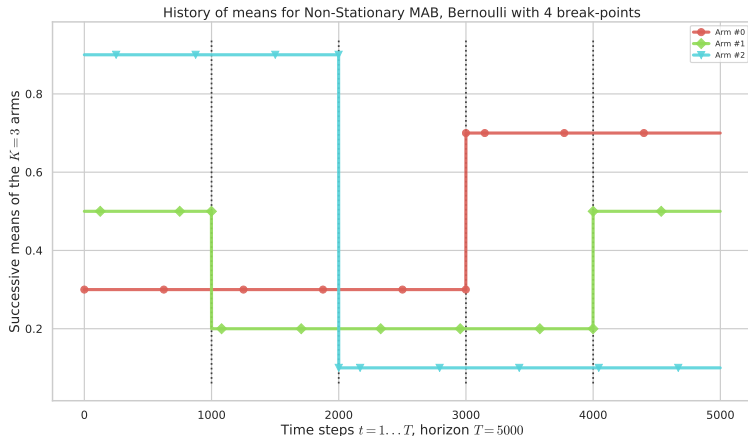
On considère trois problèmes avec

- $K = 3$ bras de Bernoulli
- $T = 5000$ étapes de temps (horizon fini)
- $\Upsilon_T = 4$ ruptures (= 5 séquences stationnaires)
Les algorithmes peuvent utiliser cette connaissance de T et Υ_T
- 1000 simulations indépendantes, on affiche le regret moyen

Référence

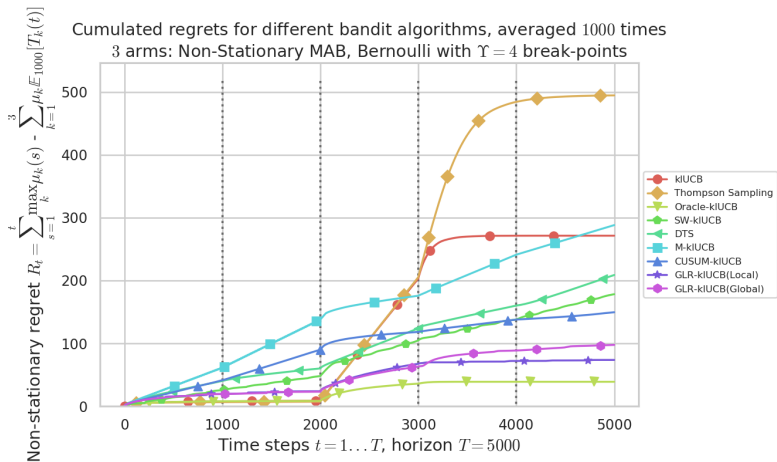
- On utilise ma bibliothèque open-source en Python pour la simulation de problèmes de bandits, **SMPyBandits**
↪ Publiée en ligne à [SMPyBandits.GitHub.io](https://github.com/lilianb/SMPyBandits)
- Plus d'expériences dans la version longue de l'article !
↪ sur [HAL-02006471](https://hal.archives-ouvertes.fr/hal-02006471) et [arXiv:1902.01575](https://arxiv.org/abs/1902.01575)

Problème 1 : seulement des changements locaux



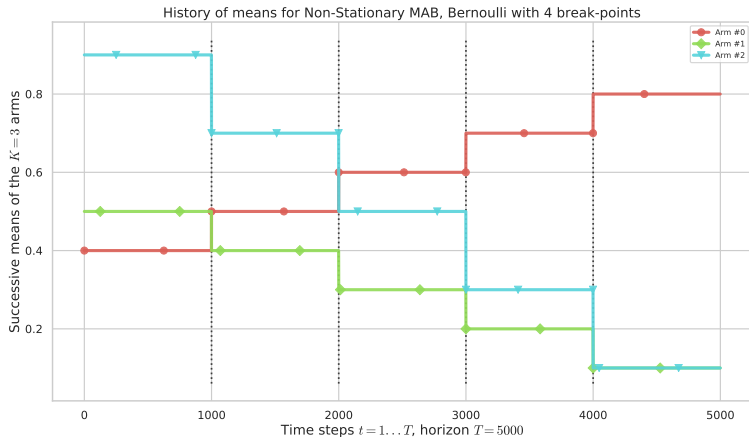
On affiche les moyennes : $\mu_1(t)$, $\mu_2(t)$, $\mu_3(t)$.

Résultats pour le problème 1

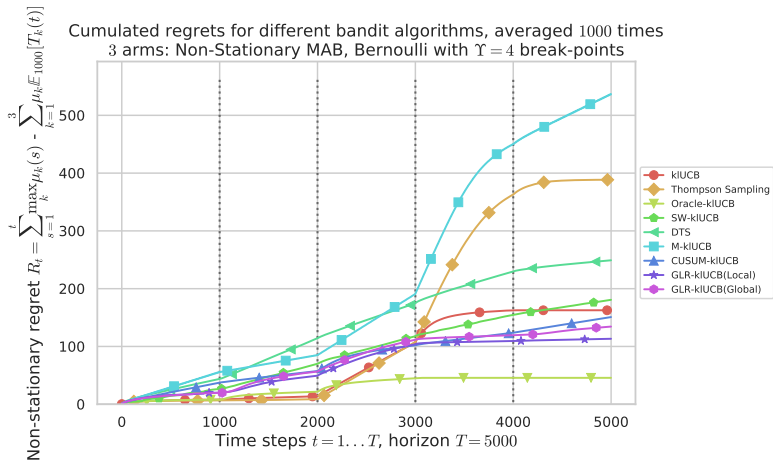


\implies BGLR atteint les meilleures performances parmi les algorithmes non-oracles 🤖 !

Problème 2 : seulement des changements globaux

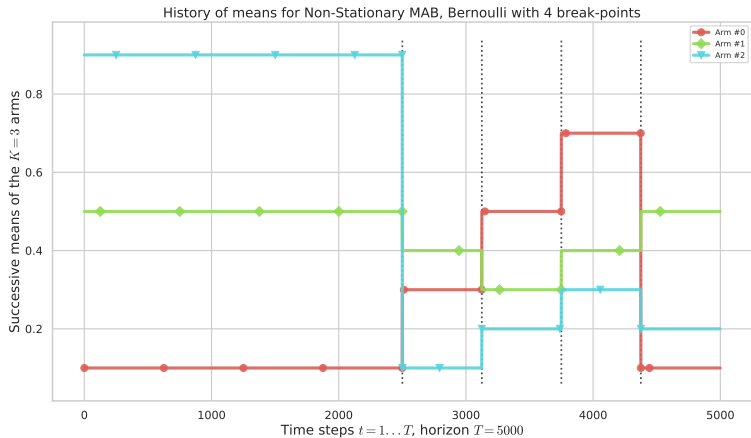


Résultats pour le problème 2

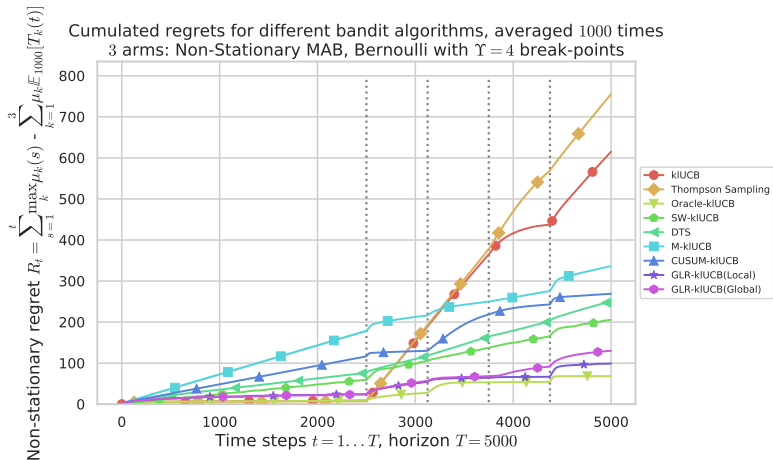


\implies BGLR atteint encore les meilleures performances 🤖 !

Pb 3 : longueurs non uniformes des séquences



Résultats pour le problème 3



\implies BGLR atteint les meilleures performances parmi les algorithmes non-oracles 🤖 !

Interprétation des simulations

Conclusions pour le regret

- En pratique, on vérifie que le **test BGLR est efficace** 😊 :
 - il a une **faible probabilité de fausse alarme**,
 - il a un **faible délai** si les séquences stationnaires sont assez longues.

Et cela est aussi le cas hors des hypothèses de notre analyse

- Utiliser les indices kl-UCB donnent une bonne performance 😊

⇒ Notre algorithme (test BGLR + kl-UCB) est efficace

⇒ On vérifie qu'il obtient des bonnes performances.

Résumé

On a présenté...

- Les problèmes de bandits multi-bras stationnaires ou **stationnaires par morceaux**
- Le très efficace test généralisé de rapport de vraisemblances de Bernoulli (T-BGLR) 😊
 - pour détecter les ruptures **sans fausse alarme** et **faible délai**
 - pour des données de Bernoulli, et aussi des données sous-Bernoulli (n'importe quelle distribution bornée !),
 - et n'a *pas* besoin de connaître l'amplitude des ruptures
- On peut le combiner avec une stratégie de bandit efficace : **BGLR + kl-UCB** 😊
- Sa borne de regret est $R_T = \mathcal{O}(K\sqrt{T\Upsilon_T \log(T)})$ 😊 (état de l'art)
- Notre algorithme est compétitif avec le reste de l'état de l'art sur nos simulations numériques 😊

Conclusion

Merci de votre attention. 😊

Questions & Discussion ?

Si besoin : `Lilian.Besson@CentraleSupélec.fr`